

## T-S삼각형구름모형에 기초한 $H_\infty$ 구름조종기설계

신영남, 박은순

위대한 령도자 김정일동지께서는 다음과 같이 교시하시였다.

《전자공학과 자동화공학을 발전시켜야 생산의 종합적기계화와 자동화를 실현할수 있습니다.》(《김정일선집》 증보판 제11권 137~138페이지)

선행연구[1]에서는 정규구름모형에 기초한  $H_\infty$  구름조종기설계방법을 제안하였는데 이 방법은 계산량이 많고 해석이 곤란한 부족점을 가진다.

선행연구[2]에서는 조종대상이 불확정적인 모형으로 표시된 경우의  $H_\infty$  조종기설계방법을 제안하였는데 이 방법은 대상의 불확정성을 해석적으로 모형화해야 하는 부족점을 가지고있다.

본문에서는 조종대상이 불확정성을 가진 경우에 조종대상을 T-S삼각형구름모형으로 표현하고 그것에 기초하여 조종기를 설계하는 한가지 방법을 제안하였다.

### 1. T-S삼각형구름모형

정의 1 다음과 같은 형식으로 표시되는 규칙을 T-S삼각형구름모형이라고 부른다.

If  $x_1$  is  $A_1$  and  $x_2$  is  $A_2$ , ...,  $x_n$  is  $A_n$  then  $y = a_0 + a_1 x_1 + \dots + a_n x_n$

여기서  $A_1, \dots, A_n$  들은 언어값의 삼각형구름모형표시이고  $a_0, \dots, a_n$  들은 전건부의 불확정성 정도에 따라 변하는 확률값들이다.

대상을 If~then형식의 T-S삼각형구름모형으로 모형화하는 형식은 다음과 같다.

$$L^l: \text{if } x_1 \text{ is } A_1^l, \dots, x_n \text{ is } A_n^l \text{ then } y^l = a_0^l + a_1^l x_1 + \dots + a_n^l x_n \quad (1)$$

여기서  $L^l$  ( $l=1, \dots, r$ ) 은  $l$  번째 대상규칙,  $x_i$  ( $i=1, \dots, n$ ) 는 입력,  $y^l$  은 대상의 출력이다.

이 규칙의 전건부부분은  $n$  차원  $X$  조건구름모형과 구조가 같으며 이때 출력값은 하나의 값이 아니라 여러개의 값들로 얻어지는데 이것은 결국 대상의 불확정성 정도를 반영해주는 량으로 된다.(그림 1) 이 불확정성을 후건부에 반영하기 위하여  $a_j^l$  들을 다음과 같이 정한다.

$$a_0^l = \bar{a}_0^l, \quad a_j^l = N(\bar{a}_j^l, \sigma_j^l) \quad (j=1, \dots, n)$$

여기서  $\sigma_j^l = \max\{\mu_{jk}^l\} - \min\{\mu_{jk}^l\}$  ( $k=1, 2, \dots$ ) 이다. 그리고  $\bar{a}_j^l$  은 후건부동정에 의하여 얻어지는 파라미터들로서 성원구름의 기대값으로 된다. 이때 입력값들이 모두 삼각형구름모

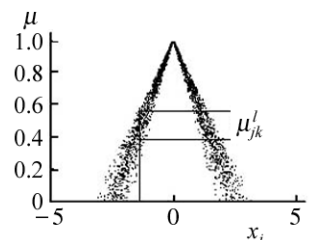


그림 1. 구름모형의 입력에 따르는 확정도

형의 기대값과 같으면  $\sigma_j^l = 0$  으로 되며 따라서  $a_j^l = \bar{a}_j^l$  로 된다.

한편 입력  $x_1^0, \dots, x_n^0$  에 대한  $r$  개의 대상규칙에 의한 전체 출력  $y^0$  은 다음과 같이 표시된다.

$$y^0 = \sum_{l=1}^r w^l \cdot y^l \Big/ \sum_{l=1}^r w^l \quad (2)$$

여기서  $w^l = \prod_{i=1}^n A_j^i(x_j^0)$ ,  $y^l = a_0^l + a_1^l x_1 + \dots + a_n^l x_n$  이며 이때  $A_j(x_j^0)$  은 삼각형구름모형  $A_j$  의

기대곡선에 대한  $X_j^0$  의 1차원  $X$  조건구름모형이다.

정의 2 다음과 같은 형식으로 표시되는 규칙을 동적체계의 T-S삼각형구름모형이라고 부른다.

$$\begin{aligned} \dot{x}(t) &= \frac{\sum_{l=1}^r w_l(t) [(A_l + \Delta A_l)x(t) + (B_l + \Delta B_l)u(t)]}{\sum_{l=1}^r w_l(t)} = \\ &= \sum_{l=1}^r h_l(t) [(A_l + \Delta A_l)x(t) + (B_l + \Delta B_l)u(t)] \\ y(t) &= \frac{\sum_{l=1}^r w_l(t) (C_l + \Delta C_l)x(t)}{\sum_{l=1}^r w_l(t)} = \sum_{l=1}^r h_l(t) (C_l + \Delta C_l)x(t) \end{aligned} \quad (3)$$

여기서  $A_l \in R^{n \times n}$ ,  $B_l \in R^{n \times m}$ ,  $C_l \in R^{s \times n}$ ,  $x \in R^n$ ,  $u \in R^m$ ,  $y \in R^p$  이고  $w_l(t)$  는 규칙의 전전 부로부터 얻어진다. 이때 매 시각  $t$  에서 다음의 조건이 만족되도록 한다.

$$w_l(t) \geq 0, \quad \sum_{l=1}^r w_l(t) > 0, \quad h_l(t) = \frac{w_l(t)}{\sum_{l=1}^r w_l(t)}, \quad \sum_{l=1}^r h_l(t) = 1$$

우의 동적체계의 T-S구름모형정의로부터 조종대상은 다음과 같은 대상규칙들로 모형화된다.

대상규칙:

$$\text{If } Z_1(t) \text{ is } M_{l_1} \text{ and } \dots \text{ and } Z_p(t) \text{ is } M_{l_p} \text{ then } \begin{cases} \dot{x}(t) = (A_l + \Delta A_l)x(t) + (B_l + \Delta B_l)u(t) \\ y(t) = (C_l + \Delta C_l)x(t) \end{cases}$$

여기서  $l = \overline{1, r}$ ,  $r$  는 규칙수,  $Z_j(t)$  는 규칙의 입력변수,  $M_{ij}$  는 삼각형구름모형의 언어값,  $\Delta A_l$ ,  $\Delta B_l$ ,  $\Delta C_l$  은 불확정성부분으로서 구름모형의 두께와 관련된다.

모든 규칙  $l$  에 대하여 대상구름모형은 다음과 같이 표시된다.

$$\begin{cases} \dot{x}(t) = \sum_{l=1}^r h_l(Z(t)) \cdot \{(A_l + \Delta A_l)x(t) + (B_l + \Delta B_l)u(t)\} \\ y = \sum_{l=1}^r h_l(Z(t)) \cdot (C_l + \Delta C_l)x(t) \end{cases} \quad (4)$$

## 2. T-S구름모형 $H_\infty$ 조종기의 한가지 설계법

불확정체계가 다음과 같이 표시된다고 하자.

$$\begin{cases} \dot{x} = [A + \Delta A(t)]x + [B + \Delta B(t)]u \\ y = [C + \Delta C(t)]x \end{cases} \quad (5)$$

여기서  $x \in R^n$ ,  $u \in R^m$ ,  $\Delta A(t) \in R^{n \times n}$ ,  $\Delta B(t) \in R^{n \times m}$ ,  $\Delta C(t) \in R^{p \times n}$  이다.

이때 식 (5)로 표현되는 조종대상에 대하여 다음의 가정을 도입한다.

가정

① 상수행렬은  $D_{jl}$ ,  $E_{jl}$ , 시변행렬은  $\Delta a_l(t)$ ,  $\Delta b_l(t)$ ,  $\Delta c_l(t)$  라고 할 때

$$\Delta A_l(t), \Delta B_l(t), \Delta C_l(t)$$

는 다음식으로 표현된다.

$$\begin{aligned} \Delta A_l &= D_{1l} \Delta a_l(t) E_{1l} & \Delta a_l(t) &= \Delta a_l^T(t) \\ \Delta B_l &= D_{2l} \Delta b_l(t) E_{2l} & \Delta b_l(t) &= \Delta b_l^T(t) \\ \Delta C_l &= D_{3l} \Delta c_l(t) E_{3l} & \Delta c_l(t) &= \Delta c_l^T(t) \end{aligned}$$

② 행렬  $A_l$ ,  $B_l$ ,  $C_l$ ,  $D_{1l}$ ,  $D_{2l}$ ,  $D_{3l}$ ,  $E_{1l}$ ,  $E_{2l}$ ,  $E_{3l}$  은 기지이다.

③ 행렬  $\Delta a_l(t)$ ,  $\Delta b_l(t)$ ,  $\Delta c_l(t)$  는 미지이고  $\Delta a_l^T(t) \Delta a_l(t) < I$ ,  $\Delta b_l^T(t) \Delta b_l(t) < I$ ,  $\Delta c_l^T(t) \Delta c_l(t) < I$  ( $j=1, 2, 3$ ) 을 만족시킨다.

④  $y$  는 측정가능한 신호이다.

가정 ①—④를 만족시키는 불확정체계 (5)에 대하여 구름모형동적보상기를 다음과 같이 정한다.[2]

조종규칙

$$\text{If } Z_1(t) \text{ is } M_{1l} \text{ and } \cdots \text{ and } Z_p(t) \text{ is } M_{lp} \text{ then } \begin{cases} \dot{x}_c = \hat{A}_l x_c + \hat{B}_l y \\ u = \hat{C}_l x_c \end{cases}$$

한편 모든 규칙에 대하여 간단히 표시하면 조종규칙은 다음과 같이 표시된다.

$$\begin{cases} \dot{x}_c = \sum_{l=1}^r h_l(Z(t)) \cdot (\hat{A}_l x_c + \hat{B}_l y) \\ u = \sum_{l=1}^r h_l(Z(t)) \cdot \hat{C}_l x_c \end{cases} \quad (6)$$

1) 불확정성의 한계(구름의 최대두께)

일반적으로 구름모형  $A(Ex, En, He)$  가 주어졌을 때  $p\{En - 3He \leq E'n \leq En + 3He\} = 0.997$  이므로 구름방울들은 거의 곡선

$$y_1 = \begin{cases} 1 - \left| \frac{x - Ex}{En - 3He} \right|, & |x - Ex| \leq |En - 3He| \\ 0, & \text{그밖의 경우} \end{cases} \quad \text{와}$$

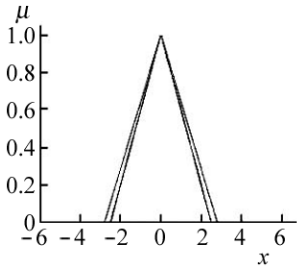


그림 2. 구름모형의 두께

$$y_2 = \begin{cases} 1 - \frac{|x - Ex|}{|En + 3He|}, & |x - Ex| \leq |En + 3He| \\ 0, & \text{그밖의 경우} \end{cases}$$

사이에 떨어지게 된다.(그림 2)

그러므로 어떤 점에서의  $x$ 의 두께는 두 꼭선의 차이값으로 볼수 있다. 즉

$$d = y_1 - y_2 = 1 - \frac{|x - Ex|}{|En + 3He|} - 1 + \frac{|x - Ex|}{|En - 3He|} = \frac{|x - Ex|}{|En - 3He|} - \frac{|x - Ex|}{|En + 3He|}.$$

이 두께가 제일 최대로 되는 점을 찾으면 다음과 같다.

$$\begin{aligned} d' = (y_1 - y_2)' &= \left( \frac{|x - Ex|}{|En - 3He|} - \frac{|x - Ex|}{|En + 3He|} \right)' = \frac{|x - Ex|'}{|En - 3He|} - \frac{|x - Ex|'}{|En + 3He|} = \\ &= \left( \frac{1}{|En - 3He|} - \frac{1}{|En + 3He|} \right) |x - Ex|' = \\ &= \begin{cases} \left( \frac{1}{|En - 3He|} - \frac{1}{|En + 3He|} \right) (x - Ex), & (x - Ex) > 0 \\ - \left( \frac{1}{|En - 3He|} - \frac{1}{|En + 3He|} \right) (Ex - x), & (x - Ex) < 0 \end{cases} \end{aligned}$$

위의 식으로부터  $d' = 0$ 이 되는  $x$ 가 없으므로 삼각형성원구름함수의 특성으로부터  $y_1 = 1/3$ 이 되는 점에서의 구름의 최대두께를 계산하면 다음과 같다.

$$d_{\max} = y_2 - y_1 = 1 - \frac{2}{3} \frac{|En - 3He|}{|En + 3He|} - \frac{1}{3}$$

여기서

$$y_1 = \frac{1}{3} = 1 - \frac{|x - Ex|}{|En - 3He|}, \quad |x - Ex| = \frac{2}{3} |En - 3He|$$

$$y_2 = 1 - \frac{|x - Ex|}{|En + 3He|} = 1 - \frac{|x - Ex|}{|En + 3He|} = 1 - \frac{\frac{2}{3} |En - 3He|}{|En + 3He|} = 1 - \frac{2}{3} \frac{|En - 3He|}{|En + 3He|}$$

이다.

이처럼 삼각형구름모형이 주어지면 그 두께도 정해지게 된다. 즉

$$d_{jl} < d_{\max} = d_l^0.$$

그러므로 최대두께  $d_l^0$ 을 다음과 같이 정한다.

$$d_l^0 = 1 - \frac{2}{3} \frac{|En - 3He|}{|En + 3He|} - \frac{1}{3} \quad (7)$$

## 2) T-S삼각형구름모형 $H_\infty$ 조종기의 설계

대상규칙의 전건부에서 삼각형구름모형  $M_{l1}, \dots, M_{lp}$ 와 정합되는 두께를  $d_{l1}, \dots, d_{lp}$ 라고 하자. 그러면  $d_{lj} \leq d_{lj}^{\max}$ 로 된다. 여기서  $d_{lj}^{\max}$ 는 삼각형구름모형  $M_{lj}$ 의 최대두께이다.

이제  $d_l^{\max} = \max_j d_{jl}^{\max}$  로 놓으면 다음의 식이 성립한다.

$$\|\Delta a_l\| < d_l^{\max}, \quad \|\Delta b_l\| < d_l^{\max}, \quad \|\Delta c_l\| < d_l^{\max} \quad (8)$$

한편 다음과 같은 기호약속을 도입하자.

$$D_{al} = [000 \ 000 \cdots D_{1l} D_{2l} 0 \cdots 000] \in R^{n \times 3rn}$$

$$D_{bl} = [000 \ 000 \cdots 00 D_{3l} \cdots 000] \in R^{n \times 3rn}$$

$$C_a = [E_{11}^T \ 0 \ E_{31}^T \ E_{12}^T \ 0 \ E_{32}^T \ \cdots \ E_{1l}^T \ 0 \ E_{3l}^T \ \cdots \ E_{1r}^T \ 0 \ E_{3r}^T]^T \in R^{n \times 3rn}$$

$$C_b = [0 \ E_{21}^T \ 0 \ 0 \ E_{22}^T \ 0 \ \cdots \ 0 \ E_{2i}^T \ 0 \ \cdots \ 0 \ E_{2r}^T \ 0] \in R^{n \times 3rn}$$

$$\Delta(t) = \begin{pmatrix} \Delta_{11} & 0 & 0 & & & \\ 0 & \Delta_{21} & 0 & & 0_{3 \times 3} & 0_{3 \times 3} \\ 0 & 0 & \Delta_{31} & & & \\ & & & \Delta_{12} & 0 & 0 \\ & 0_{3 \times 3} & & 0 & \Delta_{22} & 0 \\ & & & 0 & 0 & \Delta_{32} \\ & & & & & \Delta_{1r} & 0 & 0 \\ 0_{3 \times 3} & & \cdots & & 0 & \Delta_{2r} & 0 \\ & & & & 0 & 0 & \Delta_{3r} \end{pmatrix} \in R^{3rn \times 3rn}$$

그러면 식 (5)는 다음과 같은 일반화T-S구름모형대상으로 표시할수 있는데 이때 편리상  $h_l(Z(t))$ 를 간단히  $h_l$ 로 표시한다.

$$\begin{cases} \dot{x} = \sum_{l=1}^r h_l \cdot (A_l x + B_l u + D_{al} \omega) \\ z = C_a x + C_b u \\ y = \sum_{l=1}^r h_l \cdot (C_l x + D_{bl} \omega) \end{cases} \quad (9)$$

여기서  $\omega = \Delta(t) \cdot z$ ,  $\Delta^T(t) \Delta(t) < I$  이다.

여기에 동적보상기(식 (6))를 대입하면 다음과 같이 된다.

$$\begin{cases} \dot{x} = \sum_{l=1}^r h_l \cdot (A_l x + B_l \sum_{j=1}^r h_j \hat{C}_j x_c + D_{al} \omega) \\ \dot{x}_c = \sum_{l=1}^r h_l \cdot (\hat{A}_l x_c + \hat{B}_l \sum_{j=1}^r h_j (C_j x + D_{bj} \omega)) \end{cases} \quad (10)$$

식 (10)을 변형하면

$$\begin{pmatrix} \dot{x} \\ \dot{x}_c \end{pmatrix} = \sum_{l=1}^r \sum_{j=1}^r h_l h_j \left[ \begin{pmatrix} A_l & B_l \hat{C}_j \\ \hat{B}_l C_j & \hat{A}_l \end{pmatrix} \begin{pmatrix} x \\ x_c \end{pmatrix} + \begin{pmatrix} D_{al} \\ \hat{B}_l D_{bj} \end{pmatrix} \begin{pmatrix} \omega \end{pmatrix} \right] \quad (11)$$

로 되며 기호약속

$$X = \begin{pmatrix} x \\ x_c \end{pmatrix}, A_{lj} = \begin{pmatrix} A_l & B_l \hat{C}_j \\ \hat{B}_l C_j & \hat{A}_l \end{pmatrix}, B_{lj} = \begin{pmatrix} D_{ai} \\ \hat{B}_l D_{bj} \end{pmatrix}, C_{lj} = \begin{pmatrix} C_a & C_b \hat{C}_j \end{pmatrix}$$

을 도입하면 T-S구름모형을 리용한 전체 닫힌체계의 상태방정식은 다음과 같이 표시된다.

$$\begin{cases} \dot{X} = \sum_{l=1}^r \sum_{j=1}^r h_l h_j \cdot (A_{lj} X + B_{lj} \omega) \\ z = \sum_{l=1}^r \sum_{j=1}^r h_l h_j \cdot C_{lj} X \end{cases} \quad (12)$$

보조정리  $\forall i$ 에 대하여  $k_i > 0$ ,  $\sum_{i=1}^s k_i = 1$ 이고  $M_i$ 가 임의의 행렬일 때 다음식이 성립한다.

$$\sum_{i=1}^s k_i \cdot M_i \cdot M_i^T \geq \sum_{i=1}^s \sum_{j=1}^s k_i k_j \cdot M_i \cdot M_j^T \quad (13)$$

(증명략함)

정리 닫힌체계 (12)가 2차안정으로 되기 위해서는  $\forall i, j$ 에 대하여 다음의 조건을 만족시키는 정인정값행렬  $P$ 가 존재할것이 필요하고 충분하다.

$$A_{ij}^T P + P A_{ij} + P B_{ij} B_{ij}^T P + C_{ij}^T C_{ij} < 0, (H_i \cap H_j \neq \emptyset) \quad (14)$$

증명

$$A = \sum_{i=1}^r \sum_{j=1}^r h_i h_j \cdot A_{ij}, B = \sum_{i=1}^r \sum_{j=1}^r h_i h_j \cdot B_{ij}, C = \sum_{i=1}^r \sum_{j=1}^r h_i h_j \cdot B_{ij}$$

로 놓으면 식 (12)는 다음과 같이 표시된다.

$$\begin{cases} \dot{X} = AX + B\omega \\ z = CX \end{cases}$$

이 체계가 안정하기 위해서는 유계실값정리로부터

$$A^T P + P A + P B B^T P + C^T C < 0 \quad (15)$$

인 정인정값행렬  $P > 0$ 이 존재할것이 필요하고 충분하다.

이제  $A, B, C$ 를 식 (15)의 왼변에 대입하면 다음과 같이 된다.

$$\begin{aligned} & \left( \sum_{i=1}^r \sum_{j=1}^r h_i h_j \cdot A_{ij}^T \right) P + P \left( \sum_{i=1}^r \sum_{j=1}^r h_i h_j \cdot A_{ij} \right) + P \left( \sum_{i=1}^r \sum_{j=1}^r h_i h_j \cdot B_{ij} \right) \cdot \\ & \cdot \left( \sum_{i=1}^r \sum_{j=1}^r h_i h_j \cdot B_{ij}^T \right) P + \sum_{i=1}^r \sum_{j=1}^r h_i h_j \cdot C_{ij}^T C_{ij} = \left( \sum_{i=1}^r \sum_{j=1}^r h_i h_j \cdot A_{ij}^T \right) P + \\ & + P \left( \sum_{i=1}^r \sum_{j=1}^r h_i h_j \cdot A_{ij} \right) + P \left( \sum_{i=1}^r \sum_{j=1}^r h_i h_j \cdot B_{ij} B_{ij}^T \right) P + \sum_{i=1}^r \sum_{j=1}^r h_i h_j \cdot C_{ij}^T C_{ij} = \\ & = \sum_{i=1}^r \sum_{j=1}^r h_i h_j \cdot (A_{ij}^T P + P A_{ij} + P B_{ij} B_{ij}^T P + C_{ij}^T C_{ij}) \end{aligned}$$

웃식의 유도과정에서  $\sum_{i=1}^r h_i = 1$ ,  $h_i, h_j > 0$  임을 고려하고 보조정리를 리용하였다.

그러므로  $\forall i, j$ 에 대하여

$$A_{ij}^T P + P A_{ij} + P B_{ij} B_{ij}^T P + C_{ij}^T C_{ij} < 0, (H_i \cap H_j \neq \emptyset)$$

인 정인정값행렬  $P > 0$  이 존재할 때 식 (15)에 의하여 닫힌체계는 안정하다.(증명끝)

정리로부터  $i$  번째 대상규칙의 일반화대상은  $H_i \cap H_j \neq \emptyset$ 로 되는 모든 조종규칙의 보상기에 의하여 안정화되어야 한다는것을 알수 있다. 즉  $j$  번째 조종규칙의 보상기는  $H_i \cap H_j \neq \emptyset$ 로 되는 모든 대상규칙의 일반화대상을 안정시키도록 설계되어야 한다.

이 결과를 리용하면 보조정리로부터  $j$  번째 조종규칙의 보상기설계방법은 다음과 같다.

①  $\forall i$ 에 대하여

$$A_i P_j + P_j A_i^T + P_j C_{ai}^T C_{ai} P_j + D_{ai} D_{ai}^T - B B^T < 0, (H_i \cap H_j \neq \emptyset) \quad (16)$$

으로 되는  $P_j > 0$  을 결정한다.

②  $\forall i$ 에 대하여

$$N_{ij} = Q_j A_i + A^T Q_{ji} + Q_j D_{ai} D_{ai}^T Q_j + C_{ai}^T C_{ai} - C^T C < 0, (H_i \cap H_j \neq \emptyset) \quad (17)$$

으로 되는  $Q_j > 0$  을 결정한다.

③  $\begin{pmatrix} P_j & I \\ I & Q_j \end{pmatrix} > 0$  이 만족되는가를 검사한다.

이것은 다음의 LMI를 만족시키는 대칭행렬  $P_j > 0$ ,  $Q_j > 0$  을 구하는것과 등가이다.

즉  $\forall i$ 에 대하여 다음과 같다.

$$\begin{pmatrix} A_i P_j + P_j A_i^T + D_{ai} D_{ai}^T - B B^T & P_j C_{ai}^T \\ C_{ai} P_j & -I \end{pmatrix} < 0, \\ \begin{pmatrix} Q_j A_i + A^T Q_{ji} + C_{ai}^T C_{ai} - C^T C & Q_j D_{ai} \\ D_{ai}^T Q_j & -I \end{pmatrix} < 0, \\ \begin{pmatrix} P_j & I \\ I & Q_j \end{pmatrix} > 0$$

그러므로  $j$  번째 보상기의 파라미터행렬은 다음과 같이 얻어진다.

$$\begin{aligned} \hat{A}_j &= A_j + B_j C_{Cj} - B_{Cj} C_j + Q_j^{-1} C_{aj}^T C_{aj} - Q_j^{-1} N_{jj} (I - P_j Q_j)^{-1} \\ B_{Cj} &= Q_j^{-1} C_j^T, \\ C_{Cj} &= B_j^T Q_j (I - P_j Q_j)^{-1} \end{aligned}$$

맺 는 말

조종대상의 T-S삼각형구름모형을 정의하고 그에 기초한  $H_\infty$  구름조종기를 설계하는 한가지 방법을 제안하였다.

## 참 고 문 헌

- [1] 김일성종합대학학보(자연과학), 61, 2, 30, 주체104(2015).  
[2] 美多;  $H_\infty$ 制御, コロナ社, 30~35, 1994.

주체104(2015)년 5월 5일 원고접수

 **$H_\infty$  Controller Design based on the T-S Triangular Cloud Model**

*Sin Yong Nam, Pak Un Sun*

We propose a method for  $H_\infty$  controller design based on the T-S triangular cloud model.

We propose modeling method of nonlinear and uncertainty dynamic system by T-S triangular cloud model and designed  $H_\infty$  controller.

The stability of  $H_\infty$  controller is verified through the theorem.

Key words: cloud model,  $H_\infty$  controller, stability